

## توزيع مارشال اولكن توب ليون وبيل المرن خصائص مع تطبيق

الباحثة: نور قيس محسن      أ.م.د. منذر عبدالله خليل      أ.م.د. أزهار عباس محمد

كلية علوم الحاسوب والرياضيات      كلية علوم الحاسوب والرياضيات      كلية علوم الحاسوب والرياضيات

جامعة تكريت      جامعة تكريت      جامعة تكريت

drazh64@tu.edu.iq

mun880088@tu.edu.iq

Sword.cutter46@yahoo.com

المستخلص:

قدمنا في هذا البحث توزيع مارشال اولكن توب ليون وبيل المرن وهو توسيع لتوزيع وبيل المرن. العديد من الخصائص الاحصائية تم دراستها بما في ذلك الدالة الكمية والعزوم والدالة المولدة للعزوم والاحصاءات المرتبة. بالإضافة إلى ذلك تم تقدير معالم التوزيع الجديد باستخدام طريقة الامكان الاعظم. طبقت محاكاة لدراسة سلوك معالم التوزيع الجديد. ولأثبات مطابقة ومرنة التوزيع تم تطبيقه على بيانات حقيقة هندسية للضغط والاجهاد لـ ٦٣ عينة ومقارنته مع العديد من التوزيعات مثل توزيع بيتا وبيل المرن، كوماراسومي وبيل المرن، توسيع تعميم وبيل المرن، وبيل وبيل المرن، وبيل المرن. اثبتت التوزيع الجديد ملائمة عالية للبيانات الحقيقة بالمقارنة مع بعض التوزيعات المعروفة باعتماد على معايير الاحصائية ومن هذه المعايير:

- معيار اكايaki (Akaike information criterion: AIC).

- معيار اكايaki المصحح (Corrected Akaike information criterion: CAIC).

- معيار بيبير (Bayesian information criterion: BIC).

- معيار هنان-كويين (Hannan-Quinn information criterion: HQIC).

**الكلمات المفتاحية:** مارشال اولكن، توب ليون، وبيل المرن، الخصائص الاحصائية، الاحصاءات المرتبة.

## The Marshall-Olkin Topp Leone Flexible Weibull distribution Properties with Application

Researcher: Noor Qais mohsin

College of Computer Science & Mathematics

Tikrit University

Assist. Prof. Dr. Mundher A. khaleel

College of Computer Science & Mathematics

Tikrit University

Assist. Prof. Dr. Azhar Abbas Mohammad

College of Computer Science & Mathematics

Tikrit University

### Abstract:

This paper introduces the Marshall-Olkin Topp Leone Flexible Weibull distribution as an extension of the flexible Weibull distribution. Its numerous statistical properties are established including the quintal function, moments, the generating function, order statistics and obtained while the unknown model parameters are estimation by using the method of maximum likelihood estimating. Simulation studies were also conducted and the behaviour of the Marshall-Olkin Topp Leone flexible Weibull parameters were investigated. The application of Marshall-Olkin Topp Leone Flexible Weibull distribution is illustrated by making use of real engineering data for

strength and stress for 63 samples, this is done to demonstrate its potentials over some other important distributions like the Beta Flexible Weibull, Kumaraswamy Flexible Weibull, Exponentiated Generalized Flexible Weibull, Weibull Flexible Weibull, and Flexible Weibull, distributions. It shows the new distribution very fit for the dataset compared with others known distributions. Based on statistical standards, one of these criteria is the:

- Akaike information criterion (AIC).
- Corrected Akaike information criterion (CAIC).
- Bayesian information criterion (BIC).
- Hannan- Quinn information criterion (HQIC).

**Keywords:** Marshall-Olkin, Topp Leone, Flexible Weibull, Statistical properties, Order Statistics.

### المقدمة

هناك العديد من الظواهر في هذا العالم تحتاج إلى وصف احصائي لها حتى تكون أكثر فهماً للفارئ ولكن لا يوجد توزيع احصائي محدد يصف كل هذه الظواهر. لذلك مؤخرًا العديد من الباحثين إلى تطوير عوائل جديدة من التوزيعات وذلك بإضافة معلمة واحدة أو معلمتين أو ثلاثة. ففي عام ١٩٩٧ قام الباحثان (Marshall and Olkin, 1997) بتوسيع عائلة جديدة من خلال إضافة معلمة شكل إلى التوزيع الأساسي. الكثير من الباحثين استخدموها هذه العائلة لإيجاد ودراسة توزيعات جديدة. في عام (2019) قام كل من (Ahmed et al., 2019) و (Maxwell et al., 2019) و (Abu Jarad et al., 2019) باستخدام عائلة مارشال ولكن وذلك بتوسيع توزيع:

exponentiated exponential, Exponentiated BurrX, Exponential Gompertz, Invers Lomax وتطبيقه على بيانات السرطان والضغط والاجهاد على التوالي، وهناك بحوث أخرى استخدمو عائلة (Marshall-Olkin-G) مثل (Khalil et al., 2020) و (Ahmed et al., 2020). وقام (Eugene et al., 2002) باستخدام توزيع Beta لإيجاد عائلة جديدة وذلك بإضافة معلمتين شكل إلى التوزيع الأساسي. حيث قام كل من (Merovci et al., 2016) و (Khaleel et al., 2017) باستخدام عائلة Beta وتطبيق التوزيعات الجديدة على بيانات هندسية وأخرى زراعية على التوالي. وفي العام ٢٠٠٩ قام كل من الباحثين (Zografos and Balakrishnan, 2009) بإيجاد عائلة (Gamma-G) وذلك بإضافة معلمة شكل واحدة إلى التوزيع الأساسي والهدف منه زيادة المرونة للتوزيع. وبهذا الصدد قام الباحثين (Khaleel et al., 2016) بتوسيع توزيع (Burr X) باستخدام هذه العائلة وتطبيقاتها على بيانات رياضية.

وبنفس السياق قدم الباحثين (Bourguignon et al., 2014) باستخدام توزيع ويبل وذلك لإيجاد عائلة جديدة (Weibull-G) من خلال إضافة معلمتين شكل إلى التوزيع الأساسي. وباستخدام هذه العائلة قام (Ibrahim et al., 2017) و (Mazher and others, 2018) و (Jamal et al., 2019) و (Oguntunde et al., 2019) باستخدام هذه العائلة لدراسة بيانات أجنة الطائرات ودعم القرار في القطاع الصحي وبيانات كهربائية ومرضى السرطان على التوالي. وفي عام ٢٠١٧ قام (Alizadeh et al., 2017) باستخدام توزيع (Gompertz) وذلك لتوليد عائلة جديدة لها مرونة عالية في وصف بيانات مختلفة.

حيث قام كل من (Oguntunde et al., 2018) و (Abdal-hameed et al., 2018) و (Khaleel et al., 2020) و (Oguntunde et al., 2019) بتطبيق هذه التوزيعات على انواع مختلفة من الظواهر الطبيعية اليومية. في هذا البحث نقدم توسيع جديد لتوزيع ويبيل المرن (Flexible Weibull) القادر على نمذجة البيانات الهندسية. حيث يمتاز بمرنة عالية من حيث الملائمة في تحليل البيانات الحقيقية، العديد من الدراسات اجريت على توزيع ويبيل المرن في السنوات الأخيرة. حيث تم اقتراح ودراسة توزيع (Flexible Weibull extension: FWEx) على نمذجة بيانات مدى الحياة من قبل (Bebbington et al., 2007) وتوسيع ويبيل المرن المعتم (generalized Flexible Weibull extension: (GFWEx)) من قبل (Ahmad and Iqbal, 2017).

تضمن المبحث الثاني ايجاد التوزيع المقترن دالة كثافة احتمالية (PDF) ودالة كتلة احتمالية (CDF). تناول المبحث الثالث ايجاد توسيع دالة (PDF). اما المبحث الرابع ايجاد ودراسة اهم الخصائص الرياضية للتوزيع المقترن. والمبحث الخامس تم من خلاله دراسة المحاكاة، وفي المبحث السادس تقدير معلمات التوزيع باستخدام طريقة الامكان الاعظم. وختم البحث بالاستنتاجات.

**١. توزيع (Marshall-Olkin Topp Leone Flexible Weibull: MOTLFW)**  
ليكن لدينا توزيع Flexible Weibull دالة كثافة احتمالية (CDF)، ودالة كثافة احتمالية (PDF) على التوالي، وكالتالي:

$$F(x; \delta, \gamma) = 1 - e^{-\delta x - \frac{\gamma}{x}} \quad \delta, \gamma > 0, x > 0 \quad (1)$$

$$f(x; \delta, \gamma) = \left( \delta + \frac{\gamma}{x^2} \right) e^{\delta x - \frac{\gamma}{x}} e^{-\delta x - \frac{\gamma}{x}} \quad (2)$$

حيث أن  $\gamma$  تمثل معالم الشكل للتوزيع الاساسي ولتكن لدينا دالة (pdf, cdf) للعائلة :Marshall Olkin-G (MO – G)

$$M(x; c, \emptyset) = \frac{T(x; \emptyset)}{1 - \bar{c}T(x; \emptyset)}, \quad \bar{T}(x) = 1 - T(x), \bar{c} = 1 - c \quad (3)$$

$$m(x; c, \emptyset) = \frac{ct(x; \emptyset)}{(1 - \bar{c}T(x; \emptyset))} \quad (4)$$

حيث أن  $\emptyset$  هي مجموعة من المعالم للتوزيع الأساسي.

ليكن لدينا (Topp Leone- G(TL – G) للعائلة (pdf, cdf) على التوالي:  
 $T(x; \alpha, \emptyset) = \{1 - [1 - F(x; \emptyset)]^2\}^\alpha$  (5)

وعليه فان دالة البقاء للعائلة Topp Leone- G(TL – G) هي كالتالي:

$$S(x; \alpha, \emptyset) = 1 - T(x; \alpha, \emptyset) = \bar{T}(x; \alpha, \emptyset) = 1 - \{1 - [1 - F(x; \emptyset)]^2\}^\alpha \quad (6)$$

باشقاق معادلة (5) نحصل على:

$$t(x; \alpha, \emptyset) = 2\alpha f(x; \emptyset) [1 - F(x; \emptyset)] \left\{ 1 - (1 - F(x; \emptyset))^2 \right\}^{\alpha-1} \quad (7)$$

نعرض معادلات رقم (5) و (6) في معادلة رقم (3) نحصل على (cdf) عائلة MOTL-G الجديدة.

$$M(x; c, \alpha, \emptyset) = \frac{\{1 - (1 - F(x; \emptyset))^2\}^\alpha}{1 - \alpha \{1 - (1 - F(x; \emptyset))^2\}^{\alpha-1}} \quad (8)$$

نعرض معادلات رقم (7) و (6) في معادلة رقم (4) نحصل على (pdf) لعائلة MOTL-G الجديدة.

$$m(x; c, \alpha, \emptyset) = \frac{2\alpha c f(x)[1 - F(x)] \{1 - (1 - F(x; \emptyset))^2\}^{\alpha-1}}{\left[1 - \alpha \{1 - (1 - F(x; \emptyset))^2\}^{\alpha-1}\right]^2} \quad (9)$$

عند تعويض معادلة رقم (1) وفي معادلة رقم (8) نحصل على (cdf) للتوزيع الجديد MOTLFW كما يلي:

$$M(x; c, \alpha, \delta, \gamma) = \frac{\left\{1 - \left(e^{-\delta x - \frac{\gamma}{x}}\right)^2\right\}^\alpha}{1 - \alpha \left[1 - \left\{1 - \left(e^{-\delta x - \frac{\gamma}{x}}\right)^2\right\}^\alpha\right]} \quad (10)$$

باشتقاق معادلة (10) نحصل على pdf للتوزيع الجديد MOTLFW

$$m(x; c, \alpha, \delta, \gamma) = 2\alpha c \left(\delta + \frac{\gamma}{x^2}\right) e^{\delta x - \frac{\gamma}{x}} e^{-\delta x - \frac{\gamma}{x}} e^{-\delta x - \frac{\gamma}{x}} \frac{\left\{1 - \left(e^{-\delta x - \frac{\gamma}{x}}\right)^2\right\}^{\alpha-1}}{\left\{1 - \alpha \left[1 - \left\{1 - \left(e^{-\delta x - \frac{\gamma}{x}}\right)^2\right\}^\alpha\right]\right\}} \quad (11)$$

ان دالة البقاء Survival function تدعى بالشكل الاتي:

$$S(x; c, \alpha, \delta, \gamma) = 1 - M(x; c, \alpha, \delta, \gamma)$$

$$S(x; c, \alpha, \delta, \gamma) = 1 - \frac{\left\{1 - \left(e^{-\delta x - \frac{\gamma}{x}}\right)^2\right\}^\alpha}{1 - \alpha \left[1 - \left\{1 - \left(e^{-\delta x - \frac{\gamma}{x}}\right)^2\right\}^\alpha\right]} \quad (12)$$

اما دالة المخاطرة hazard function او تسمى دالة معدل الفشل نحصل عليها من الصيغة التالية:

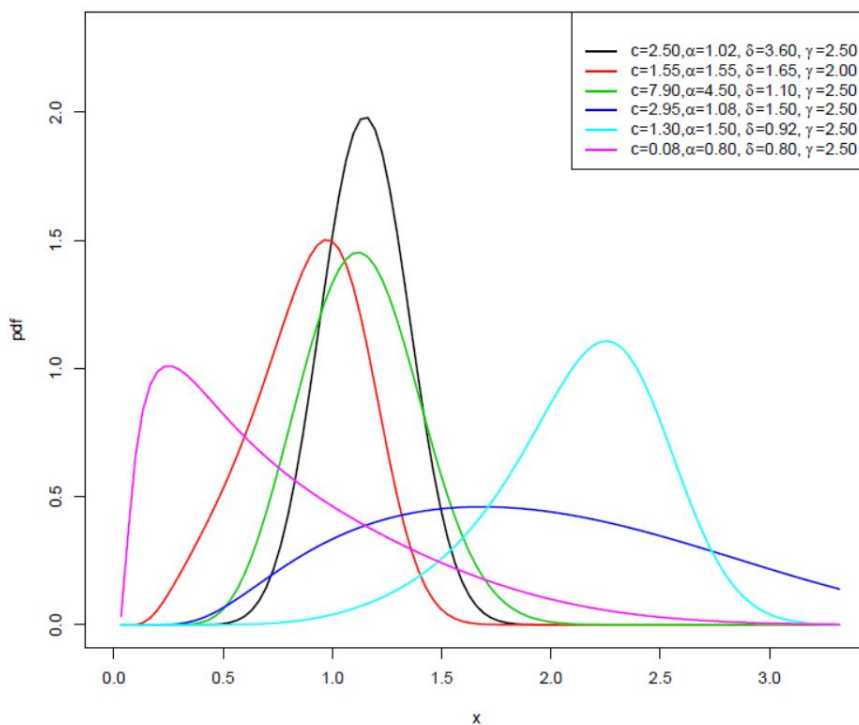
$$h(x; c, \alpha, \delta, \gamma) = \frac{m(x; c, \alpha, \delta, \gamma)}{S(x; c, \alpha, \delta, \gamma)} = \frac{2\alpha c \left(\delta + \frac{\gamma}{x^2}\right) e^{\delta x - \frac{\gamma}{x}} \left(e^{-\delta x - \frac{\gamma}{x}}\right)^2 \times \frac{\left\{1 - \left(e^{-\delta x - \frac{\gamma}{x}}\right)^2\right\}^{\alpha-1}}{\left\{1 - \alpha \left[1 - \left\{1 - \left(e^{-\delta x - \frac{\gamma}{x}}\right)^2\right\}^\alpha\right]\right\}}}{1 - \frac{\left\{1 - \left(e^{-\delta x - \frac{\gamma}{x}}\right)^2\right\}^\alpha}{1 - \alpha \left[1 - \left\{1 - \left(e^{-\delta x - \frac{\gamma}{x}}\right)^2\right\}^\alpha\right]}} \quad (13)$$

الشكل (١) يعرض بعض الرسومات لدالة PDF للتوزيع المقترن MOTLFW باختيار قيم مختلفة لمعامل التوزيع حيث يظهر لدينا اشكال مختلفة التمايز والشكل الاحادي تأخذ شكل الالتواء من اليمين عندما تكون قيمتها سالبة و الالتواء من اليسار عندما تكون قيمتها موجبة ويمكن ايجاد كل الالتواء من الصيغة التالية (Ahmedd, et al., 2019):

$$S_k = \frac{Q(3/4) + Q(1/4) - 2Q(1/2)}{Q(3/4) - Q(1/4)}$$

حيث أن اغلب هذه الاشكال تكون ذات التواوء موجب وتفلطح بعده اشكال مثل المدب والمتوسط والمسطح بالاعتماد على تغير قيم المعلم ويكتب التفلطح بالصيغة الآتية:

$$M_u = \frac{Q(7/8) - Q(5/8) + Q(3/8) - Q(1/8)}{Q(6/8) - Q(2/8)}$$



الشكل (١): يعرض الاشكال المحتملة للتوزيع المقترن باستخدام قيم مختلفة للمعلم ٢. توسيع دالة الكثافة الاحتمالية (Expansion of pdf):

تمت دراسة بعض الخصائص الرياضية للتوزيع الجديد يأخذ بنظر الاعتبار حيث أن توسيع (pdf) للتوزيع الجديد يسهل علينا الكثير من العمليات الرياضية في ايجاد بعض الخصائص وذلك بأخذ معادلة (11) وتبسيطها لإجراء هذه العمليات تقوم باستخدام مفهوك ثانوي الحدين عدة مرات (Khaleel et al., 2018) بالصيغة الآتية :

$$(1 - w)^{-j} = \sum_{i=0}^{\infty} \frac{\Gamma(j+i)}{\Gamma(j) i!} w^i \quad (14)$$

باستخدام معادلة (14) وتعويض على المقام معادلة رقم (11) نحصل على:

$$\left[ 1 - \bar{c} \left( 1 - \left\{ 1 - \left[ e^{-e^{\delta x - \frac{\gamma}{x}}} \right]^2 \right\}^{\alpha} \right) \right]^{-2} = \sum_{i=0}^{\infty} (i+1) \bar{c}^i \left( 1 - \left\{ 1 - \left[ e^{-e^{\delta x - \frac{\gamma}{x}}} \right]^2 \right\}^{\alpha} \right)^i$$

$$(1-w)^i = \sum_{k=0}^{\infty} \frac{(-1)^k \Gamma(k+i)}{\Gamma(i) k!} w^k \quad (15)$$

بتبسيط المعادلة (11) واستخدم معادلة (15) يمكن تبسيط المقدار الى:

$$\left( 1 - \left\{ 1 - \left[ e^{-e^{\delta x - \frac{\gamma}{x}}} \right]^2 \right\}^{\alpha} \right)^i = \sum_{k=0}^{\infty} \frac{(-1)^k \Gamma(k+i)}{\Gamma(i) k!} \left\{ 1 - \left[ e^{-e^{\delta x - \frac{\gamma}{x}}} \right]^2 \right\}^{\alpha k}$$

$$m(x; c, \alpha, \delta, \gamma) = 2\alpha c \left( \delta + \frac{\gamma}{x} \right) e^{\left( \delta x - \frac{\gamma}{x} \right)} e^{-2e^{\delta x - \frac{\gamma}{x}}} \left\{ 1 - \left( e^{-e^{\delta x - \frac{\gamma}{x}}} \right)^2 \right\}^{\alpha-1}$$

$$* \sum_{i=0}^{\infty} (i+1) \bar{c}^i \sum_{k=0}^{\infty} \frac{(-1)^k \Gamma(k+i)}{\Gamma(i) k!} \left\{ 1 - \left( e^{-e^{\delta x - \frac{\gamma}{x}}} \right)^2 \right\}^{\alpha k}$$

$$= 2\alpha c \sum_{i,k=0}^{\infty} \bar{c}^i \frac{(i+1)(-1)^k \Gamma(k+i)}{\Gamma(i) k!} \left( \delta + \frac{\gamma}{x} \right) e^{\left( \delta x - \frac{\gamma}{x} \right)} \left\{ 1 - \left( e^{-e^{\delta x - \frac{\gamma}{x}}} \right)^2 \right\}^{\alpha(k+1)-1}$$

وباستخدام معادلة (15) مرة اخرى

$$\left\{ 1 - \left( e^{-e^{\delta x - \frac{\gamma}{x}}} \right)^2 \right\}^{\alpha(k+1)-1} = \sum_{s=0}^{\infty} (-1)^s \binom{\alpha(k+1)-1}{s} \left( e^{-e^{\delta x - \frac{\gamma}{x}}} \right)^{2s}$$

$$= \sum_{i,k,s=0}^{\infty} (i+1) (-1)^{k+s} \binom{\alpha(k+1)-1}{s} \frac{\Gamma(k+i)}{\Gamma(i) k!} 2\alpha c \bar{c}^i$$

$$* \left( \delta + \frac{\gamma}{x^2} \right) e^{\left( \delta x - \frac{\gamma}{x} \right)} \left( e^{-e^{\delta x - \frac{\gamma}{x}}} \right)^{2(s+1)}$$

وباستخدام مفهوك Exponential

$$e^{-tx} = \sum_{j=0}^{\infty} \frac{(-1)^j x^j t^j}{j!}$$

$$e^{-2(s+1)e^{\delta x - \frac{\gamma}{x}}} = \sum_{j=0}^{\infty} \frac{(-1)^j (2(s+1))^j}{j!} \left( e^{\delta x - \frac{\gamma}{x}} \right)^j$$

لتحصل على الصيغة النهائية لدالة (pdf):

$$m(x; c, \alpha, \delta, \gamma) = 2\alpha c v_{i,k,s,j} \left( \delta + \frac{\gamma}{x^2} \right) \left( e^{\delta x - \frac{\gamma}{x}} \right)^{j+1} \quad (16)$$

$$v_{i,k,s,j} = \sum_{i,k,s,j}^{\infty} \frac{(-1)^{j+k+s} \bar{c}^i (i+1) (2(s+1))^j \Gamma(k+i) \binom{\alpha(k+1)-1}{s}}{\Gamma(i) j! k!}$$

ان معادلة (16) تفيينا في ايجاد بعض الخصائص الاحصائية والرياضية مثل العزوم، دالة مولدة للعزوم وغيرها من الخصائص الاحصائية.

### ٣. الخصائص الرياضية:

١-٣. دالة التوزيع الكمي **Quantile function**: دالة الكمية هي احدي طرق في تحديد دالة الاحتمال التي نستخدمها للحصول على ايجاد التقطيع والاتوء للتوزيعات التي لا تمتلك عزوم وهي ضرورية لتوليد البيانات في دراسة المحاكاة. يتم تعريف الدالة الكمية (Qf) بانها معكوس الدالة التوزيع التراكمي (Al Abbasi, J.N, 2016) كالتالي:

$$u = f(x) \Rightarrow x = f^{-1}(u) = Q(u)$$

وبعكس معادلة (10) يمكن ايجاد دالة (Qf) وكذلك:

$$Q(u) = f^{-1}(u) = \frac{\left\{ 1 - \left( e^{-e^{\delta x - \frac{Y}{x}}} \right)^2 \right\}^{\alpha}}{1 - \bar{c} \left( 1 - \left\{ 1 - \left[ e^{-e^{\delta x - \frac{Y}{x}}} \right]^2 \right\}^{\alpha} \right)}$$

حيث أن (1)

نفرض ان:

$$G(x) = e^{-e^{\delta x - \frac{Y}{x}}}$$

$$\therefore u = \frac{\left\{ 1 - (G(x))^2 \right\}^{\alpha}}{1 - \bar{c} \left( 1 - \left\{ 1 - [G(x)]^2 \right\}^{\alpha} \right)}$$

$$\Rightarrow \left\{ 1 - [G(x)]^2 \right\}^{\alpha} = u - u\bar{c} \left( \left\{ 1 - [G(x)]^2 \right\}^{\alpha} \right)$$

$$\Rightarrow \left\{ 1 - [G(x)]^2 \right\}^{\alpha} = u - u\bar{c} + u\bar{c} \left\{ 1 - [G(x)]^2 \right\}^{\alpha}$$

$$\Rightarrow u - u\bar{c} = \left\{ 1 - [G(x)]^2 \right\}^{\alpha} (1 - u\bar{c})$$

$$\Rightarrow 1 - [G(x)]^2 = \left[ \frac{u - u\bar{c}}{1 - u\bar{c}} \right]^{\frac{1}{\alpha}}$$

$$G(x) = \left\{ 1 - \left[ \frac{u - u\bar{c}}{1 - u\bar{c}} \right]^{\frac{1}{\alpha}} \right\}^{\frac{1}{2}}$$

بالتعميض عن قيمة  $G(x)$  نحصل على:

$$\Rightarrow e^{-e^{\delta x - \frac{Y}{x}}} = \left\{ 1 - \left[ \frac{u - u\bar{c}}{1 - u\bar{c}} \right]^{\frac{1}{\alpha}} \right\}^2$$

$$D = \left\{ 1 - \left[ \frac{u - u\bar{c}}{1 - u\bar{c}} \right]^{\frac{1}{\alpha}} \right\}^{\frac{1}{2}}$$

نأخذ  $\ln$  للطرفين:

$$-e^{\delta x - \frac{Y}{x}} = \ln D \Rightarrow \delta x - \frac{Y}{x} = \ln[-\ln D]$$

$$\Rightarrow \delta x^2 - Y = x \ln[-\ln D]$$

$$\Rightarrow \delta x^2 - x \ln[-\ln D] - Y = 0$$

باستخدام معادلة المميز نحصل على:

$$\therefore x = \frac{1}{2\alpha} \left\{ \ln \left[ -\ln \left\{ 1 - \left[ \frac{u - u\bar{c}}{[1 - u\bar{c}]} \right]^{\frac{1}{\alpha}} \right\}^{\frac{1}{2}} \right] \pm \sqrt{\left[ \ln \left( -\ln \left\{ 1 - \left[ \frac{u - u\bar{c}}{[1 - u\bar{c}]} \right]^{\frac{1}{\alpha}} \right\}^{\frac{1}{2}} \right) \right]^2 + 4\delta\gamma} \right\}$$

بما ان دالة الكمية موجبة فأننا نحصل على:

$$Q(u) = X = \frac{1}{2\alpha} \left\{ \ln \left[ -\ln \left\{ 1 - \left[ \frac{u - u\bar{c}}{[1 - u\bar{c}]} \right]^{\frac{1}{\alpha}} \right\}^{\frac{1}{2}} \right] + \sqrt{\left[ \ln \left( -\ln \left\{ 1 - \left[ \frac{u - u\bar{c}}{[1 - u\bar{c}]} \right]^{\frac{1}{\alpha}} \right\}^{\frac{1}{2}} \right) \right]^2 + 4\delta\gamma} \right\} \quad (17)$$

ويمكن ان نحصل على الوسيط التوزيع من المعادلة (17) عندما  $u=0.5$

$$Med = \frac{1}{2\alpha} \left\{ \ln \left[ -\ln \left\{ 1 - \left[ \frac{0.5 - 0.5}{[1 - 0.5]} \right]^{\frac{1}{\alpha}} \right\}^{\frac{1}{2}} \right] + \sqrt{\left[ \ln \left( -\ln \left\{ 1 - \left[ \frac{0.5 - 0.5}{[1 - 0.5]} \right]^{\frac{1}{\alpha}} \right\}^{\frac{1}{2}} \right) \right]^2 + 4\delta\gamma} \right\} \quad (18)$$

تعتبر المعادلة (17) مهمة جدا في الحصول على بعض المقاييس المعروفة مثل (Moor's kurtosis) و (skewness Bowley's) لوزيع (MOTLFW).

**٢-٣. العزوم والدالة المولدة للعزوم (Moments, Moment generating function)** يلعب العزوم دورا مهما في ايجاد الكثير من خصائص التوزيعات الاحتمالية حيث يمكننا استخدام العديد من الميزات المهمة للعزوم مثل الاتجاه، الانتواء والتقطح، والتشتت ومعامل الاختلاف والانحراف المعياري، وبإضافة الى ذلك امكانية بإيجاد الوسط الحسابي والتباين ومقاييس اخرى. ويتم الحصول على العزم ذي الدرجة  $r$  للتوزيع الجديد  $MO\ TL\ FW$  من العلاقة التالية وذلك بالاعتماد على معادلة (16) بعد (Oguntunde et al., 2018)

$$\mu_r = E(x^r) = \int_0^{\infty} x^r m(x; c, \alpha, \delta, \gamma) dx$$

باستخدام المعادلة (16) نحصل على:

$$\mu_r = \int_0^{\infty} x^r 2\alpha c v_{i,k,s,j} \left( \delta + \frac{\gamma}{x^2} \right) e^{(j+1)\delta x - \frac{\gamma}{x}} dx$$

$$\mu_r = 2\alpha c v_{i,k,s,j} \int_0^{\infty} x^r \left( \delta + \frac{\gamma}{x^2} \right) e^{(j+1)\delta x - \frac{\gamma}{x}} dx$$

$$\mu_r = 2\alpha c v_{i,k,s,j} \int_0^{\infty} x^r \left( \delta + \frac{\gamma}{x^2} \right) e^{(j+1)\delta x} e^{-(j+1)\frac{\gamma}{x}} dx$$

باستخدام مفهوم Exponential على مقدار  $e^{-(j+1)\frac{\gamma}{x}}$

$$e^{-(j+1)\frac{\gamma}{x}} = \sum_{\ell=0}^{\infty} \frac{(-1)^{\ell} (j+1)^{\ell} \gamma^{\ell}}{\ell!} x^{-\ell}$$

$$\begin{aligned}\Psi_{\ell} &= \sum_{\ell=0}^{\infty} \frac{(-1)^{\ell} (j+1)^{\ell} \gamma^{\ell}}{\ell!} \\ &= 2\alpha c \Psi_{\ell} v_{i,k,s,j} \int_0^{\infty} x^{r-\ell} \left( \delta + \frac{\gamma}{x} \right) e^{(j+1)\delta x} dx\end{aligned}$$

بعد إجراء بعض العمليات الجبرية نحصل على:

$$= 2\alpha c \Psi_{\ell} v_{i,k,s,j} \int_0^{\infty} \delta x^{r-\ell+1-1} e^{(j+1)\delta x} dx + \int_0^{\infty} \gamma x^{r-\ell-1-1} e^{(j+1)\delta x} dx$$

باستخدام دالة كاما (Gradshteyn et al., 2014)

$$\frac{\Gamma z}{\theta^z} = \int_0^{\infty} t^{z-1} e^{\theta t} dt \quad \theta, z > 0$$

$$\mu_r = 2\alpha c \Psi_{\ell} v_{i,k,s,j} \left\{ \frac{\Gamma(r-\ell+1)}{\delta^{r-\ell}(j+1)^{r-\ell+1}} + \frac{\gamma \Gamma(r-\ell-1)}{\delta^{r-\ell-1}(j+1)^{r-\ell-1}} \right\} \quad (19)$$

في المعادلة (19) لقد حصلنا على العزوم لاستفادة منه في ايجاد بعض الخصائص التوزيع مثل التباين والوسط الحسابي والالتواء وغيرها من مقاييس اخرى.

تم الحصول على دالة المولدة للعزوم (MOTLFW) للتوزيع *Mgf* باستخدام مفوك

Exponential حيث يمكن ايجاده بالصيغة الآتية (Khaleel et al., 2018)

$$M_x(t) = E(e^{tX}) = \int_0^{\infty} e^{tx} m(x; c, \alpha, \delta, \gamma) dx$$

وباستخدام مفوك Exponential

$$e^{tx} = \sum_{r=0}^{\infty} \frac{t^r x^r}{r!}$$

وباستخدام معادلة (19) نحصل على الصيغة النهائية لدالة مولدة للعزوم كالتالي:

$$\therefore M_x(t) = 2\alpha \sum_{i,k,s,j,r}^{\infty} \frac{t^r}{r!} \Psi_{\ell} v_{i,k,s,j} \left\{ \frac{\Gamma(r-\ell+1)}{\delta^{r-\ell}(j+1)^{r-\ell+1}} + \frac{\gamma \Gamma(r-\ell-1)}{\delta^{r-\ell-1}(j+1)^{r-\ell-1}} \right\} \quad (20)$$

**٣-٣. الاحصاءات المرتبة Order Statistic:** يتم استخدام الاحصائيات المرتبة لأهميتها المتمثلة في تطبيقات عديدة في مجال الموثوقية واختبار الحياة على نطاق واسع.

لتكن  $X_1, X_2, \dots, X_n$  عينة عشوائية بحجم  $n$  من التوزيع *MO TL-FW* وباستعانة كل من pdf وcdf ولتكن  $X_{1:n} \leq X_{2:n} \leq \dots \leq X_{n:n}$  ترمز للإحصائيات المرتبة من هذه العينات، بحيث أن pdf للإحصاءات المرتبة تكون  $m_{i,n}(x) \leq 1 \leq k \leq n$ ، وتنكتب بالشكل (21) وتعطى بالصيغة التالية (Ahmedd, 2019):

$$m_{r,n}(x) = \frac{n!}{(r-1)!(n-r)!} m(x) \sum_{i=0}^{n-r} \binom{n-r}{i} (-1)^i (M(x))^{i+r-1} \quad (21)$$

حيث أن  $X_{1:n}$  هي احصائيات المرتبة الاول التي يشير الى اصغرها.

$$X_{1:n} = \min X_{i:n} \quad i = 1, 2, 3, \dots, n$$

اصغر ثانى من  $X_{1:n}$  و  $X_{n:n}$  هي احصائيات المرتبة الاخيرة التي تشير الى اكبرها.

$$X_{n:n} = \max X_{i:n} \quad i = 1, 2, 3, \dots, n$$

لتكن:

$$m_{r,n}(x) = \frac{n! m(x; c, \alpha, \delta, \gamma)}{(r-1)!(n-r)!} [M(x; c, \alpha, \delta, \gamma)]^{r-1} [1 - M(x; c, \alpha, \delta, \gamma)]^{n-r} \quad (21)$$

بتعميض معادلة (16) والمعادلة (10) في معادلة (20) نحصل على المعادلة الآتية:

$$m_{r,n}(x) = \frac{n!}{(r-1)!(n-r)!} \left( 2\alpha c v_{i,k,s,j} \left( \delta + \frac{\gamma}{x^2} \right) \left( e^{\delta x - \frac{\gamma}{x}} \right)^{j+1} \right) \left[ \frac{\left\{ 1 - \left( e^{-\delta x - \frac{\gamma}{x}} \right)^2 \right\}^\alpha}{1 - \bar{c} \left[ 1 - \left\{ 1 - \left( e^{-\delta x - \frac{\gamma}{x}} \right)^2 \right\}^\alpha \right]} \right]^{r-1} \left[ \frac{\left\{ 1 - \left( e^{-\delta x - \frac{\gamma}{x}} \right)^2 \right\}^\alpha}{1 - \bar{c} \left[ 1 - \left\{ 1 - \left( e^{-\delta x - \frac{\gamma}{x}} \right)^2 \right\}^\alpha \right]} \right]^{n-r}$$

إذا عوضنا  $r=1$  نحصل على أصغر احصاء مرتبة:

$$m_{1,n}(x) = n \left( 2\alpha c v_{i,k,s,j} \left( \delta + \frac{\gamma}{x^2} \right) \left( e^{\delta x - \frac{\gamma}{x}} \right)^{j+1} \right) \left[ \frac{\left\{ 1 - \left( e^{-\delta x - \frac{\gamma}{x}} \right)^2 \right\}^\alpha}{1 - \bar{c} \left[ 1 - \left\{ 1 - \left( e^{-\delta x - \frac{\gamma}{x}} \right)^2 \right\}^\alpha \right]} \right]^{r-1} \left[ \frac{\left\{ 1 - \left( e^{-\delta x - \frac{\gamma}{x}} \right)^2 \right\}^\alpha}{1 - \bar{c} \left[ 1 - \left\{ 1 - \left( e^{-\delta x - \frac{\gamma}{x}} \right)^2 \right\}^\alpha \right]} \right]^{n-r}$$

إذا عوضنا  $r=n$  نحصل على أكبر احصاء مرتبة:

$$m_{n,n}(x) = n \left( 2\alpha c v_{i,k,s,j} \left( \delta + \frac{\gamma}{x^2} \right) \left( e^{\delta x - \frac{\gamma}{x}} \right)^{j+1} \right) \left[ \frac{\left\{ 1 - \left( e^{-\delta x - \frac{\gamma}{x}} \right)^2 \right\}^\alpha}{1 - \bar{c} \left[ 1 - \left\{ 1 - \left( e^{-\delta x - \frac{\gamma}{x}} \right)^2 \right\}^\alpha \right]} \right]^{r-1} \left[ \frac{\left\{ 1 - \left( e^{-\delta x - \frac{\gamma}{x}} \right)^2 \right\}^\alpha}{1 - \bar{c} \left[ 1 - \left\{ 1 - \left( e^{-\delta x - \frac{\gamma}{x}} \right)^2 \right\}^\alpha \right]} \right]^{n-r}$$

٤. طريقة الامكان الاعظم **Maximum Likelihood method (MLE)** : من احدي الطرق

في تقدير معالم التوزيع الاحصائي هي طريقة الامكان الاعظم ويكون الاكثر استخداما في ايجاد تقدير لقيمة معلمة (Ahmed, 2019).

ولتكن  $X_1, X_2, \dots, X_n$  عينة عشوائية من حجم n للتوزيع MOTLFW وباستخدام pdf

يمكن ايجادها بالصيغة الآتية:

$$m(X_1, X_2, \dots, X_n; c, \alpha, \delta, \gamma) = \prod_{i=1}^n 2\alpha c \left( \delta + \frac{\gamma}{x_i^2} \right) e^{\delta x_i - \frac{\gamma}{x_i}} \left( e^{-\delta x_i - \frac{\gamma}{x_i}} \right)^2 \times \frac{\left\{ 1 - \left( e^{-\delta x_i - \frac{\gamma}{x_i}} \right)^2 \right\}^{\alpha-1}}{\left[ 1 - \bar{c} \left[ 1 - \left\{ 1 - \left( e^{-\delta x_i - \frac{\gamma}{x_i}} \right)^2 \right\}^\alpha \right] \right]^2} \quad (22)$$

تكون الدالة اللوغاريتمية للدالة الامكان الاعظم كالتالي:

$$\ell = n \ln(2\alpha c) + \sum_{i=1}^n \ln \left( \delta + \frac{\gamma}{x_i} \right) + \sum_{i=1}^n \left( \delta x_i - \frac{\gamma}{x_i} \right) - 2 \sum_{i=1}^n \left( e^{\delta x_i - \frac{\gamma}{x_i}} \right)^2 + (\alpha - 1) \sum_{i=1}^n \ln \left( 1 - e^{-2e^{\delta x_i - \frac{\gamma}{x_i}}} \right) - 2 \sum_{i=1}^n \ln \left( 1 - \bar{c} \left( 1 - \left\{ 1 - \left[ e^{-\delta x_i - \frac{\gamma}{x_i}} \right]^2 \right\}^\alpha \right) \right) \quad (21)$$

$$\begin{aligned}
 \frac{\partial \ell}{\partial \delta} &= \sum_{i=1}^n \frac{x_i^2}{\delta x_i + \gamma} + \sum_{i=1}^n x_i - 2 \sum_{i=1}^n x_i e^{(\delta x_i - \frac{\gamma}{x_i})} + 2(\alpha - 1) \sum_{i=1}^n \frac{x_i e^{(\delta x_i - \frac{\gamma}{x_i})}}{1 - e^{-2e^{(\delta x_i - \frac{\gamma}{x_i})}}} \\
 &\quad - 4\alpha \bar{c} \sum_{i=1}^n \frac{x_i e^{(\delta x_i - \frac{\gamma}{x_i})} \left\{ 1 - \left[ e^{-e^{(\delta x_i - \frac{\gamma}{x_i})}} \right]^2 \right\}}{1 - \bar{c} \left( 1 - \left\{ 1 - \left[ e^{-e^{(\delta x_i - \frac{\gamma}{x_i})}} \right]^2 \right\}^2 \right)} \\
 \frac{\partial \ell}{\partial \gamma} &= \sum_{i=1}^n \frac{1}{\delta x_i^2 + \gamma} - \sum_{i=1}^n \frac{1}{x_i} - 2 \sum_{i=1}^n \frac{1}{x_i} e^{(\delta x_i - \frac{\gamma}{x_i})} + 2(\alpha - 1) \sum_{i=1}^n \frac{e^{(\delta x_i - \frac{\gamma}{x_i})}}{x_i \left( 1 - e^{-2e^{(\delta x_i - \frac{\gamma}{x_i})}} \right)} \\
 &\quad - 4\alpha \bar{c} \sum_{i=1}^n \frac{e^{(\delta x_i - \frac{\gamma}{x_i})} \left\{ 1 - \left[ e^{-e^{(\delta x_i - \frac{\gamma}{x_i})}} \right]^2 \right\}}{x_i \left( 1 - \bar{c} \left( 1 - \left\{ 1 - \left[ e^{-e^{(\delta x_i - \frac{\gamma}{x_i})}} \right]^2 \right\}^2 \right) \right)} \\
 \frac{\partial \ell}{\partial \alpha} &= \frac{2n}{\alpha} + \sum_{i=1}^n \ln \left( 1 - e^{-2e^{(\delta x_i - \frac{\gamma}{x_i})}} \right) - 2\bar{c} \sum_{i=1}^n \frac{\left( 1 - \left\{ 1 - \left[ e^{-e^{(\delta x_i - \frac{\gamma}{x_i})}} \right]^2 \right\}^2 \right) \ln \left( 1 - \left[ e^{-e^{(\delta x_i - \frac{\gamma}{x_i})}} \right]^2 \right)}{\left[ 1 - \bar{c} \left( 1 - \left\{ 1 - \left[ e^{-e^{(\delta x_i - \frac{\gamma}{x_i})}} \right]^2 \right\}^2 \right) \right]} \\
 \frac{\partial \ell}{\partial c} &= \frac{2n}{c} - 2 \sum_{i=1}^n \frac{1 - \left\{ 1 - \left[ e^{-e^{(\delta x_i - \frac{\gamma}{x_i})}} \right]^2 \right\}^2}{1 - \bar{c} \left( 1 - \left\{ 1 - \left[ e^{-e^{(\delta x_i - \frac{\gamma}{x_i})}} \right]^2 \right\}^2 \right)}
 \end{aligned}$$

نلاحظ ان المشتقات الجزئية للمعلمات التوزيع  $(\alpha, c, \delta, \gamma)$  بعد مساويتها بالصفر يصعب حلها يدويا لذلك نلجأ الى استخدام الطرق العددية حيث استخدمنا ببرنامج R لصعوبة حلها بطريقة التقليدية.

٥. المحاكاة: تم اجراء دراسة المحاكاة لتقدير اداء MLE لتقدير معلمات التوزيع MOTLFW. ومن خلال الاعتماد على برنامج R وباستخدام دالة الكمية يتم توليد عينة عشوائية وقد اجريت المحاكاة لثلاث عينات مختلفة وباستخدام قيم معلمات حقيقة مختلفة وقيم عشوائية اولية للتوزيع MOTLFW وقد تم اختيارنا عينات عشوائية مختلفة وقيم عشوائية اكبر من الصفر مثل العينة الأولى  $(1, 0.5, 1, 1)$  والعينة الثانية  $(2, 0.5, 2, 2)$  والعينة الثالثة  $(0.5, 0.5, 0.5, 0.5)$  وب أحجام عينة مختلفة  $(30, 50, 100, 200)$  وعدد التكرارات  $N=0001$ ، يتم عرض في الجدول (١) The mean (AEs) و bias و root mean square error (RMSE) الصيغة الرياضية كالتالي:

$$AEs(\hat{\theta}) = \frac{\sum_{i=1}^{1000} \hat{\theta}}{1000}, \quad Bias(\hat{\theta}) = AEs(\hat{\theta}) - \theta$$

$$RMSE = \sqrt{\sum_{i=1}^{1000} \frac{(\hat{\theta} - \theta)^2}{1000}}$$

حيث أن  $\hat{\theta}$  تقدير الامكان الاعظم هو المناسب لتقدير معلمات التوزيع MOTLFW .  
الجدول (١): يوضح Bias و AEs و RMSE لقيم معلمات المختلفة

المجموعة الاولى: (1, 0.5, 1, 1)				
<b>n</b>	$\theta$	<b>AEs</b>	<b>Bias</b>	<b>RMSE</b>
30	$c$	1.1581	0.1158	0.2809
	$\alpha$	0.5201	0.0201	0.3451
	$\delta$	1.0713	0.0713	0.8045
	$\gamma$	0.9701	-0.0299	0.3801
50	$c$	1.0656	0.0656	0.2208
	$\alpha$	0.5171	0.0171	0.1225
	$\delta$	1.0708	0.0708	0.4999
	$\gamma$	0.9761	-0.0239	0.3194
100	$c$	1.0350	0.0350	0.1584
	$\alpha$	0.5129	0.0129	0.0881
	$\delta$	1.0569	0.0569	0.3470
	$\gamma$	0.9772	-0.0228	0.2462
200	$c$	1.0117	0.0117	0.1159
	$\alpha$	0.5056	0.0056	0.0621
	$\delta$	1.0276	0.0276	0.2433
	$\gamma$	1.0019	0.0019	0.1873
المجموعة الثانية: (2, 0.5, 2, 2)				
<b>n</b>	$\theta$	<b>AEs</b>	<b>Bias</b>	<b>RMSE</b>
30	$c$	2.2335	2.5330	0.6254
	$\alpha$	0.5123	0.3210	0.6590
	$\delta$	2.0641	0.1460	1.0008
	$\gamma$	2.0177	0.7710	0.4596
50	$c$	2.1528	0.1528	0.5083
	$\alpha$	0.5132	0.0132	0.0820
	$\delta$	2.1277	0.1277	0.8841
	$\gamma$	1.9708	-0.0292	0.6318
100	$c$	2.0953	0.0953	0.4133
	$\alpha$	0.5117	0.0117	0.0632
	$\delta$	2.1152	0.1152	0.6686
	$\gamma$	1.9585	-0.0415	0.5217
200	$c$	2.0336	0.0336	0.2773
	$\alpha$	0.5056	0.0056	0.0502
	$\delta$	2.0903	0.0903	0.5820
	$\gamma$	1.9969	-0.0031	0.4186

المجموعة الثالثة: (0.5, 0.5, 0.5, 0.5)				
n	o	AEs	Bias	RMSE
30	c	0.7135	0.0317	0.0950
	α	0.4191	0.4191	0.0022
	δ	0.8135	0.3183	0.2348
	γ	0.4933	-0.0670	0.1718
50	c	0.5146	0.0146	0.0690
	α	0.5314	0.0314	0.1559
	δ	0.5298	0.0298	0.1822
	γ	0.5007	0.0007	0.1418
100	c	0.5069	0.0069	0.0484
	α	0.5195	0.0195	0.1024
	δ	0.5167	0.0167	0.1211
	γ	0.4988	-0.0012	0.1051
200	c	0.5006	0.0006	0.0332
	α	0.5078	0.0078	0.0689
	δ	0.5068	0.0068	0.0831
	γ	0.5008	0.0008	0.0782

نلاحظ ان عند زيادة حجم العينة n تكون AEs قريبة من القيم الحقيقية ، بينما تنخفض RMSE نحو الصفر مع زيادة حجم العينة n استنادا الى دراسة المحاكاة يمكن ان نستنتج ان طريقة الامكان الاعظم ملائمة لتقدير معلمات.

٦. **الجانب التطبيقي:** تم استخدام مجموعة من البيانات تمثل الضغط والاجتهد لبيان مرونة التوزيع الجديد MOTLFW من خلال مقارنة مع بعض التوزيعات الاحصائية المدروسة سابقا (Khaleel et al., 2018). لقد استخدمنا بعض معايير الاحصائية لغرض مقارنة بين التوزيعات التي تكون قريبة من التوزيع MOTLFW ومن هذه المعايير:

- معيار اكايaki (AIC)
- معيار اكايaki المصحح (CAIC)
- معيار بيبير (BIC)
- Bayesian information criterion
- معيار هنان-كويين (HQIC)
- Hannan-Quinn information criterion

كما في المعادلات التالية:

$$AIC = -2 \ln + 2K, \quad BIC = -2 \ln + K \ln(n)$$

$$CAIC = AIC + \frac{2K(K + 1)}{n - K - 1}, \quad HQIC = 2 \ln(\ln(n)(K - 2L))$$

حيث تكون أصغر قيمة لهذه المعايير الاحصائية تقابلها أفضل توزيع يطابق البيانات. حيث أن قيمة (K) تمثل عدد معالم التوزيع وقيمة (n) تمثل حجم العينة وقيمة (l) تمثل قيمة الامكان الاعظم للتوزيع. ولقد استخدمنا طريقة الامكان الاعظم لتقدير المعالم غير المعروفة للتوزيعات، قمنا باستخدام برنامج لغة (R) لإيجاد أفضل توزيع يطابق البيانات، باستخدام المعايير احصائية أعلاه لغرض المقارنة بين التوزيعات.

(0.55, 0.74, 0.77, 0.81, 0.84, 1.24, 0.93, 1.04, 1.11, 1.13, 1.30, 1.25, 1.27, 1.28, 1.29, 1.48, 1.36, 1.39, 1.42, 1.48, 1.51, 1.49, 1.49, 1.50, 1.50, 1.55, 1.52, 1.53, 1.54, 1.55, 1.61, 1.58, 1.59, 1.60, 1.61, 1.63, 1.61, 1.61, 1.62, 1.62, 1.67, 1.64, 1.66, 1.66, 1.70, 1.68, 1.68, 1.69, 1.70, 1.78, 1.73, 1.76, 1.76, 1.77, 1.89, 1.81, 1.82, 1.84, 1.84, 2.00, 2.01, 2.24)

ان الجدول (2) يمثل الوصف الاحصائي لبيانات الضغط والاجتهداد للتعرف على واقع البيانات وصفاتها والية توزيعها من حيث الاعتماد على قيمة الالتواء Skew وقيمة التقطيع Kurtosis. بما ان قيمة الالتواء سالبة وهذا يدل على ان البيانات ذات الالتواء من جهة اليسار. اما بالنسبة للتقطيع ف تكون قيمته موجبة ويدل على ان البيانات ذات التقطيع رفيع التي تكون قريبة من التوزيع الطبيعي. Leptokurtic

الجدول (2): الوصف الحسابي للبيانات

Var	n	mean	sd	median	Min	Max	Skew	Kurtosis
	63	1.51	0.32	1.59	0.55	2.24	-0.88	0.8

قمنا بمقارنة التوزيع المقترن MOTLFW مع التوزيعات الاحتمالية الخمسة ومنها:

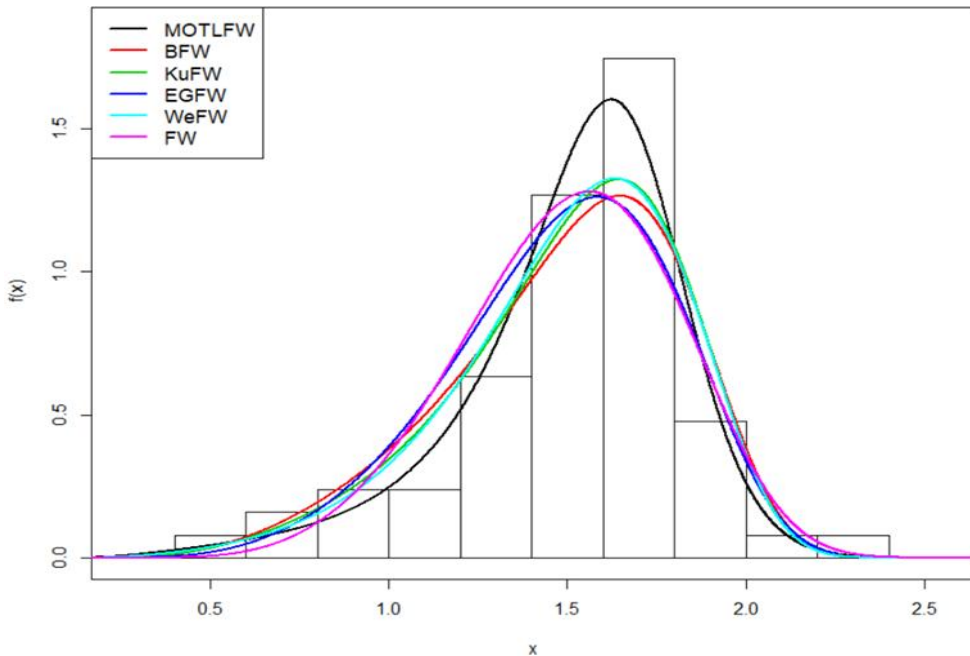
- Beta Flexible Weibull(BFW).
- Kumaraswamy Flexible Weibull (KuFW).
- Exponentiated Generalized Flexible Weibull (EGFW).
- Flexible Weibull (FW).
- Weibull Flexible Weibull (FW).

وقمنا بتحليل البيانات باستخدام البرنامج R وايضا باستخدام طريقة الامكان الاعظم بحساب المعايير الإحصائية، في الجدول (3) تم الحصول على النتائج من خلال قيم المعايير الإحصائية (HQIC, BIC, CAIC, AIC, -LL) كما في الجدول (3) يبين ان التوزيع المقترن MOTLFW قد أظهر أكثر مطابقة لبيانات الضغط والاجتهداد كونه حقق أقل قيمة لهذه المعايير عند مقارنة بالتوزيعات الخمسة. نلاحظ من الشكل (3) والشكل (2) يبين أن التوزيع المقترن هو أكثر دقة وملائمة لهذه البيانات ومما يعني ان اختيار التوزيع المقترن هو الأفضل لهذه البيانات.

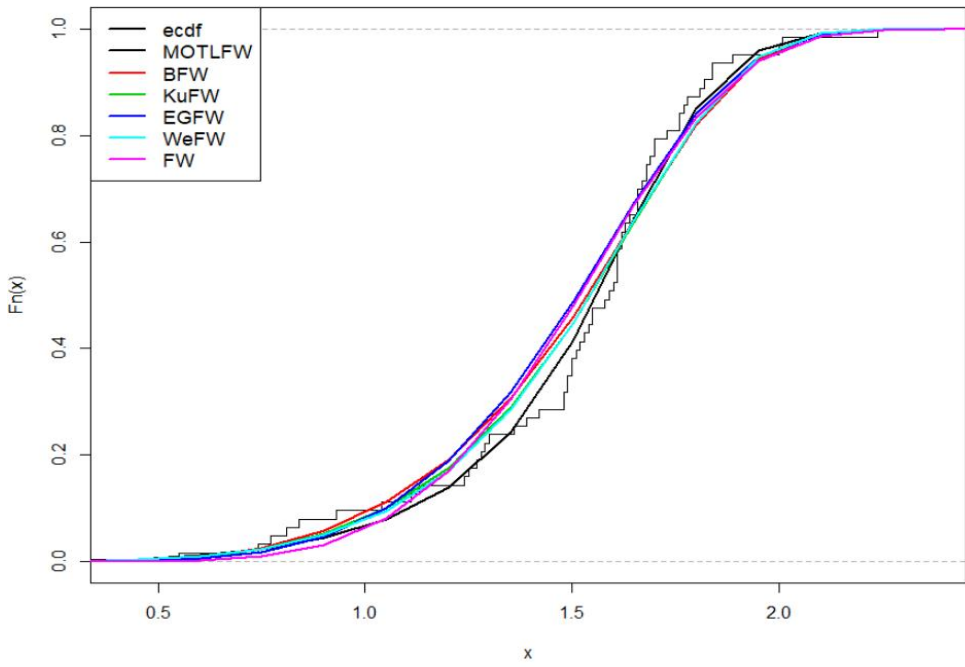
الجدول (3): قيم تقديرات المعالم للتوزيعات مع قيم المعايير  
لبيانات الضغط والاجتهاد- LL, AIC, CAIC, BIC, HQIC

Model	Est para	-LL	AIC	CAIC	BIC	HQIC
<b>MOTLFW</b>	0.5781962	11.82	31.642	32.332	40.215	35.014
	23.116799					
	1.1860682					
	2.4476800					
<b>BFW</b>	0.6205928	14.49	36.986	37.675	45.558	40.35
	0.2165488					
	2.4428288					
	4.3700279					
<b>Ku FW</b>	0.5651500	14.15	36.301	36.991	44.874	39.673
	0.2316723					
	2.4594252					
	4.4945035					
<b>EGFW</b>	0.1977571	15.086	38.173	38.863	46.746	41.545
	0.8617517					
	2.3131074					
	3.6262241					
<b>WFW</b>	2.2064239	14.36	36.722	37.412	45.295	40.094
	7.0244318					
	1.4084843					
	0.6052446					
<b>FW</b>	1.709136	16.299	36.599	36.799	40.886	38.285
	4.489488					

لقد أجرينا رسم دالة الكثافة الاحتمالية لنماذج التوزيعات وكانت النتائج كما في الشكل (3). نستنتج  
ان نموذج **MOTLFW** هو الاكثر انسجاما ومرنة مع المدرج التكراري للبيانات، علما ان  
التوزيع **FW** هو الاكثر بعداً.



الشكل (2): منحني دالة الكثافة للتوزيع المقترن لبيانات الضغط والاجهاد  
أجرينا رسم الدالة التوزيعية التراكمية للنماذج الاحتمالية كما مبين في الشكل (2) ثم نستنتج ان  
التوزيع MOTLFW هو الاكثر ملائمة مع البيانات.



الشكل (3): منحني دالة التراكمي للتوزيع المقترن وتوزيعات المقارنة لبيانات الضغط والاجهاد  
٧. الاستنتاجات: قدمنا في هذا البحث توزيعاً جديداً MOTLFW ذو أربع معالم ودرسنا بعض  
خصائصه. لقد طبقنا التوزيع MOTLFW على بيانات عن الضغط والاجهاد وتمت مقارنته مع  
التوزيعات مثل (BFW) و (FW) و (KuFW) و (EGFW) و (WeFW) ولقد استنتجنا ان

التوزيع MOTLFW هو الافضل ملائمة للبيانات كما مبين في الجدول (٣) وذلك من خلال استخدام بعض المعايير الإحصائية مثل:

- معيار اكايaki (AIC)
- معيار اكايaki المصحح (CAIC)
- معيار بيز (BIC)
- معيار هنان-كوين (HQIC)

إن الجدول (٢) يمثل الوصف الاحصائي لبيانات الضغط والاجتهاد للتعرف على واقع البيانات وصفاتها والية توزيعها من حيث الاعتماد على قيمة الالتواء  $Skew$  وقيمة التقطيع  $Kurtosis$ . قد اجرينا المحاكاة لثلاث عينات مختلفة وباستخدام برنامج  $R$  لقيم معلمات حقيقة مختلفة وقيم معلمات اولية للتوزيع MOTLFW وقد تم اختيارنا عينات عشوائية مختلفة وقيم عشوائية أكبر من الصفر من اجل تحديد وتقدير اداء MLE كما تبين في الجدول (١).

#### المصادر

#### أولاً. المصادر العربية:

١. عبدالحميد، مظهر خالد، خليل، منذر عبدالله، زياد محمد، (٢٠١٨)، دعم القرار الاستثماري في القطاع الصحي باستخدام الاساليب المعلمية، مجلة تكريت للعلوم الادارية والاقتصادية، المحور الاحصائي، المجلد (٣)، ج ٢، العدد (خاص).
1. Abdal-hameed, M. K., Khaleel, M. A., Abdullah, Z. M., Oguntunde, P. E., & Adejumo, A. O. (2018). Parameter estimation and reliability, hazard functions of Gompertz Burr Type XII distribution. *Tikrit Journal of Administration and Economics Sciences*, 14(41 part 2), 381-400.
2. Abdullah, Z. M., Khaleel, M. A., Abdal-hameed, M. K., & Oguntunde, P. E. (2019). Estimating Parameters for Extension of Burr Type X Distribution by Using Conjugate Gradient in Unconstrained Optimization. *kirkuk university journal for scientific studies*, 14(3), 33-49.
3. AbuJarad, M. H., Khan, A. A., Khaleel, M. A., AbuJarad, E. S., AbuJarad, A. H., & Oguntunde, P. E. (2019). Bayesian Reliability Analysis of Marshall and Olkin Model. *Annals of Data Science*, 1-29.
4. Ahmad, Z., & Iqbal, B. (2017). Generalized flexible weibull extension distribution. *Circulation in Computer*, 2(4), 68-75.
5. Ahmed, M. T., Khaleel, M. A., & Khalaf, E. K. (2020). The new distribution (Topp Leone Marshall Olkin-Weibull) properties with an application. *Periodicals of Engineering and Natural Sciences*, 8(2), 684-692.
6. Ahmed, M. T. (2019). Exponential Distribution (Topp Leone Marshall-Olkin) Properties with Application. *Tikrit Journal of Administration and Economics Sciences*, 15(47 Part 2), 242-255.
7. Alizadeh, M., Cordeiro, G. M., Pinho, L. G. B., & Ghosh, I. (2017). The Gompertz-G family of distributions. *Journal of Statistical Theory and Practice*, 11(1), 179-207.

8. Bebbington, M., Lai, C. D., & Zitikis, R. (2007). Reply to S. Nadarajah concerning “A flexible Weibull extension”, *Reliability Engineering and System Safety* (2007; 92: 719–26). *Reliability Engineering and System Safety*, 10(92), 1485.
9. Eugene, N., Lee, C., & Famoye, F. (2002). Beta-normal distribution and its applications. *Communications in Statistics-Theory and methods*, 31(4), 497-512.
10. Gradshteyn, I. S., & Ryzhik, I. M. (2014). Table of integrals, series, and products. Academic press.
11. Ibrahim, N. A., Khaleel, M. A., Merovci, F., Kilicman, A., & Shitan, M. (2017). WEIBULL BURR X DISTRIBUTION PROPERTIES AND APPLICATION. *Pakistan Journal of Statistics*, 33(5).
12. Khaleel, M. A., Abdal-hammed, M. K., Loh, Y. F., & Ozel, G. (2019). A new uniform distribution with bathtub-shaped failure rate with simulation and application. *Mathematical Sciences*, 1-10.
13. Khaleel, M. A., Al-Noor, N. H., & Abdal-Hameed, M. K. (2020). Marshall Olkin exponential Gompertz distribution: Properties and applications.. *Periodicals of Engineering and Natural Sciences*, 8(1), 298-312.
14. Khaleel, M. A., Ibrahim, N. A., Shitan, M., & Merovci, F. (2016, June). Some properties of Gamma Burr type X distribution with application. In *AIP Conference proceedings* (Vol. 1739, No. 1, p. 020087). AIP Publishing.
15. Khaleel, M. A., Ibrahim, N. A., Shitan, M., & Merovci, F. (2018). New extension of Burr type X distribution properties with application. *Journal of King Saud University-Science*, 30(4), 450-457.
16. Khaleel, M. A., Ibrahim, N. A., Shitan, M., Merovci, F., & Rehman, E. (2017). Beta burr type x with application to rainfall data. *Malaysian Journal of Mathematical Sciences*, 11, 73-86.
17. Khaleel, M. A., Oguntunde, P. E., Ahmed, M. T., Ibrahim, N. A., & Loh, Y. F. (2020). The Gompertz Flexible Weibull Distribution and its Applications. *Malaysian Journal of Mathematical Sciences*, 14(1), 169-190.
18. Khaleel, M. A., Oguntunde, P. E., Al Abbasi, J. N., Ibrahim, N. A., & AbuJarad, M. H. (2020). The Marshall-Olkin Topp Leone-G Family of Distributions: A family for generalizing probability models. *Scientific African*, e00470.
19. Marshall, A. N., Olkin, I. (1997) A new method for adding a parameter to a family of distributions with applications to the exponential and Weibull families, *Biometrika* 84, 641-652.
20. Maxwell, O., Chukwu, A. U., Oyamakin, O. S., & Khaleel, M. A. (2019). The Marshall-olkin Inverse Lomax Distribution (MO-ILD) with Application on Cancer Stem Cell. *Journal of Advances in Mathematics and Computer Science*, 1-12.
21. Merovci, F., Khaleel, M. A., Ibrahim, N. A., & Shitan, M. (2016). The beta Burr type X distribution properties with application. *SpringerPlus*, 5(1), 697.
22. Oguntunde, P. E., Adejumo, A. O., Khaleel, M. A., Okagbue, H. I., & Odetunmibi, O. A. (2018, October). The logistic inverse exponential distribution: Basic structural properties and application. *World Congress on Engineering*.

23. Oguntunde, P. E., Adejumo, A. O., Khaleel, M. A., Owoloko, E. A., Okagbue, H. I., & Opanuga, A. A. (2017, July). A Useful Extension of the Inverse Exponential Distribution. In The World Congress on Engineering (pp. 109-119). Springer, Singapore.
24. Oguntunde, P. E., Khaleel, M. A., Adejumo, A. O., & Okagbue, H. I. (2018). A study of an extension of the exponential distribution using logistic-x family of distributions. *International Journal of Engineering & Technology*, 7(4), 5467-5471.
25. Oguntunde, P. E., Khaleel, M. A., Adejumo, A. O., Okagbue, H. I., Opanuga, A. A., & Owolabi, F. O. (2018). The Gompertz Inverse Exponential (GoIE) distribution with applications. *Cogent Mathematics & Statistics*, 5(1), 1507122.
26. Oguntunde, P. E., Khaleel, M. A., Okagbue, H. I., & Odetunmibi, O. A. (2019). The Topp–Leone Lomax (TLLo) Distribution with Applications to Airbone Communication Transceiver Dataset. *Wireless Personal Communications*, 1-12.
27. Zografos, K., & Balakrishnan, N. (2009). On families of beta-and generalized gamma-generated distributions and associated inference. *Statistical Methodology*, 6(4), 344-362.